

工艺优化设计

2A16 铝合金锥形件多级充液热成形仿真及优化分析

杨希英¹, 郎利辉¹, 郭婵¹, 王永铭²

(1. 北京航空航天大学, 北京 100191; 2. 首都航天机械公司, 北京 100076)

摘要: 目的 解决 2A16 铝合金锥形件常温充液成形困难、表面质量差的问题。方法 介绍了充液热成形工艺, 并提出了 3 种锥形件成形方案, 通过专用有限元软件 Dynaform 对所有方案进行了数值仿真; 同时, 对一步成形方案进行了试验。结果 通过试验验证了有限元模型的正确性。由仿真分析可知, 成形缺陷包括悬空区起皱和凹模圆角及底部破裂, 一步成形方案不可取, 两步成形方案均可以将减薄率控制在 13% 以下。起皱危险主要发生在零件法兰以下 30~55 mm 处。结论 充液热成形与常温充液成形相比, 可以显著提高材料的成形性; 两步充液热成形方案可以获得 2A16 铝合金锥形件; 预成形凸模的形状设计对零件的表面质量影响明显; 最终确定用先热冲压筒形件, 后充液热成形的工艺方案, 来成形 2A16 铝合金锥形件。

关键词: 充液热成形; 锥形件; 工艺优化; 铝合金

DOI: 10.3969/j.issn.1674-6457.2014.06.011

中图分类号: TG394

文献标识码: A

文章编号: 1674-6457(2014)06-0072-06

Optimization and Simulation Investigation on Muti-step Sheet Warm Hydroforming of 2A16 Aluminum Alloy Conical Part

YANG Xi-ying¹, LANG Li-hui¹, GUO Chan¹, WANG Yong-ming²

(1. Beihang University, Beijing 100191, China; 2. Capital Aerospace Machinery Company, Beijing 100076, China)

ABSTRACT: **Objective** To solve the problems of forming difficulty and poor surface quality for normal hydro-mechanical deep drawing of 2A16 aluminum alloy conical part. **Methods** Sheet warm hydroforming was introduced and three solutions to form the conical part were designed. Numerical simulations were executed to analyze all the solutions using the finite element software Dynaform. Meanwhile, the experiment of one-step warm hydroforming was carried out. **Results** The correctness of the finite element model was verified by the experiments. As known from the analysis of the simulation, the forming defects included wrinkling of noncontact region and fracture at the punch corner and die corner. The scheme of one-step forming was not desirable, while two-step forming schemes could control the thinning rate below 13% and the risk of wrinkling mainly occurred in the noncontact region of 30 to 55 mm below the part flange. **Conclusion** Compared with normal hydro-mechanical deep drawing, warm hydroforming significantly increased the formability of materials. Two-step warm hydroforming could successfully obtain 2A16 aluminum alloy conical part. The designed shape of preforming punch evidently affected the surface quality of the final part. The final solution was determined as first hot stamping the cylindrical part

and then forming the conical part by warm hydroforming.

KEY WORDS: warm hydroforming; conical part; process optimization; aluminum alloy

在航空、航天及汽车制造领域,通过使用轻质材料实现结构轻量化已成现代工业发展的趋势^[1]。然而,在常温下,铝合金、镁合金、钛合金等轻质材料的成形性较差,制约了其进一步应用^[2]。板材充液热成形技术兼具常温下板材充液成形和板材温热成形的双重优点,能显著提高材料的成形性能,实现复杂零件的整体成形,保证成形质量、精度以及达到产品轻量化的要求^[3-7]。该技术是将加热到一定温度的流体介质充入到经过预热的模具型腔中,通过加热和冷却系统将模具和流体介质的温度控制在一定范围内,使板材能在温热状态下按照设计的加载路径成形^[8]。

锥形件是一类典型的轴对称零件,在其成形过程中易出现断裂、起皱等缺陷^[9-11]。落压等常规工艺成形铝合金锥形件,具有废品率高、精度低、道次多、效率低等缺陷^[12]。基于以上原因,针对2A16铝合金锥形件充液热成形,文中提出了不同的工艺方案,并分别进行了数值仿真分析,讨论工艺参数对零件成形及质量控制的影响,最终获得了较优化的成形方案。

1 零件概述

1.1 零件几何特征

文中研究的锥形件形状尺寸如图1所示,端部

口径 $\phi 296.5$ mm, 底部直径 $\phi 67.3$ mm, 高 173.6 mm, 底部圆角 R20 mm, 壁厚为 1.2 mm, 倾斜锥角为 43°, 具有相对高度大、壁厚薄、悬空区易起皱、底部易拉裂等特点, 难以采用常规冲压成形。

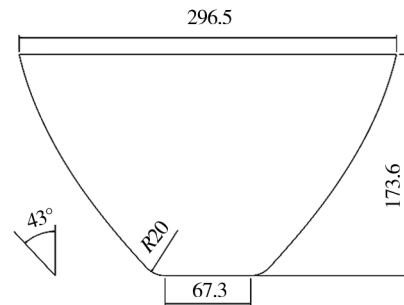


图1 零件形状及尺寸

Fig. 1 The shape and size of the part

1.2 材料参数

该零件所用材料为2A16-O铝合金,板料厚度为1.2 mm。材料力学性能采用单向拉伸测试获得,测试温度取3个特征点:20, 210, 300 °C, 应力应变曲线如图2所示。在本文数值仿真过程中,应用210 °C, $v = 1.5$ mm/min 应力应变曲线进行分析^[13]。

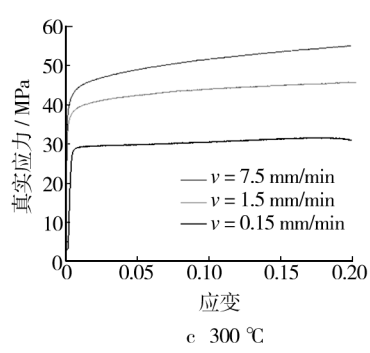
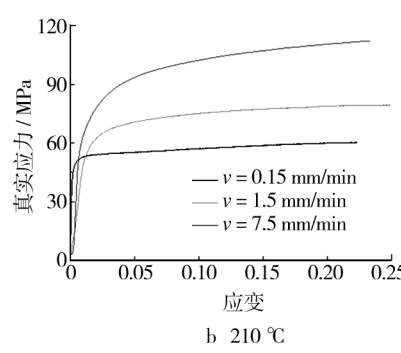
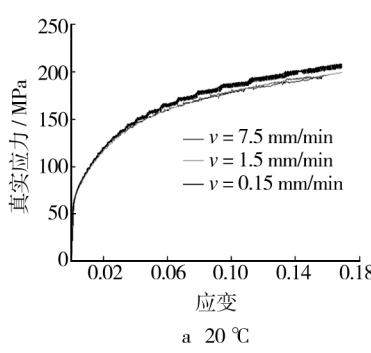


图2 2A16 铝合金应力应变曲线

Fig. 2 Stress-strain curves of 2A16 aluminum alloy

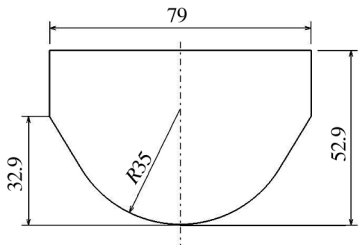
2 工艺分析

2A16铝合金材料在常温下的成形性较差,导致

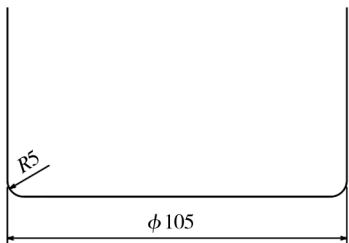
该锥形件采用常温充液成形亦难以成形,故采用充液热成形试制2A16铝合金锥形件。

根据该典型零件的特征,提出一步成形及两步成形方案。其中两步成形方案包括2种预成形凸模

设计:①预成形凸模采用近终成形的圆弧过渡形状,如图 3a 所示;②预成形凸模为圆筒形,如图 3b 所示。



a 圆弧过渡形状



b 圆筒形

图 3 预成形凸模设计方案

Fig. 3 Design scheme of pre-forming punch

3 数值仿真

选用板料成形 CAE 专用软件 Dynaform 对充液热成形过程进行有限元模拟^[14]。模型中的凸、凹模及压边圈被视为刚性体,采用刚性四边形单元进行网格划分,坯料网格划分采用 4 节点 Belytschko-Tsay 壳单元^[15]。在溢流润滑作用下,坯料与凹模、压边圈的摩擦因数设置为 0.05,与凸模的摩擦因数设置为 0.15。根据单向拉伸试验数据设置材料参数,凸模下行速度设置为 4000 mm/s。利用软件自带求解器 MSTEP 进行坯料反算,并考虑修边余量及后续模拟迭代结果进行完善,最终确定为直径 D140 mm 的圆坯料。

3.1 一步成形

锥形件成形中的缺陷主要包括:前期凸模圆角处的破裂、中期悬空区的起皱及后期凹模圆角处的破裂。在凸模与板料间预留反胀高度并增加反胀阶段,可以降低前期破裂可能,调整中后期液室压力加载路径可以降低中期起皱及后期破裂可能。对锥形

件进行一步成形工艺分析及仿真优化,最终获得零件减薄分布云图如图 4 所示。

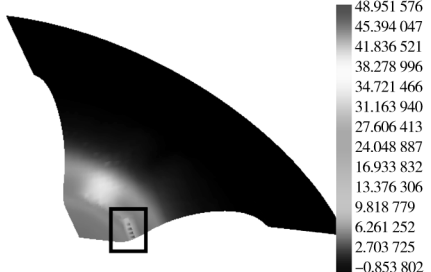
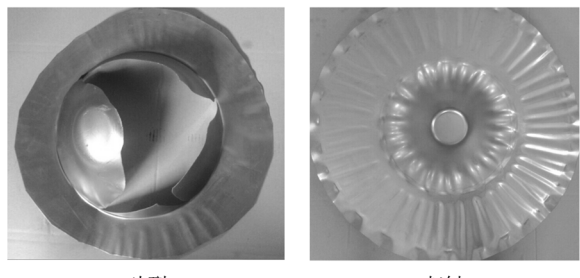


图 4 零件减薄分布云图(%)

Fig. 4 Cloud chart of part thinning distribution

一步成形模拟结果减薄率在 50% 左右,凸模下行 40~50 mm 处时,零件即产生破裂,无法成形。使用 2A16 铝合金板材进行充液热成形实验,改变压边间隙、反胀压力坯料尺寸均无法成形零件,零件破裂位置与数值模拟结果一致,均为凸模圆角处。图 5 为成形过程中的 2 种常见缺陷。



a 破裂 b 起皱

图 5 一步成形中的常见缺陷

Fig. 5 Common defects in one-step warm hydroforming

3.2 两步成形

3.2.1 第一种方案

预成形压边间隙为 1.3 mm,反胀高度为 25 mm,液室压力加载曲线如图 6 所示。从图 7 可知,在反胀结束后凸模下行初期,板料存在减薄率突变过程。该现象是由于板料未与凸模形成有益摩擦导致。随着凸模下行,板料在液室压力的作用下,贴在凸模表面,可以有效降低继续减薄程度。预成形零件最终减薄率为 10.55%,如图 8 所示。

终成形压边间隙为 1.32 mm,凸模初始位置为与预成形零件底部接触,在凸模下行 5 mm 时,液室压力按照图 9 所示曲线进行加载。零件最大减薄率为 11.33%,云图如图 10 所示。从图 11 可知,虽然

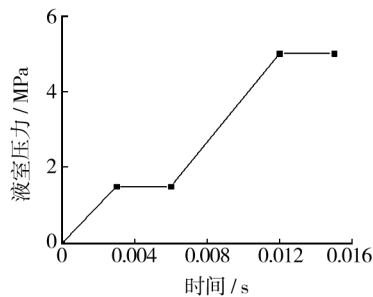


图6 预成形阶段液室压力-时间曲线(方案一)

Fig. 6 Pressure loading vs time curve during the preforming process (scheme 1)

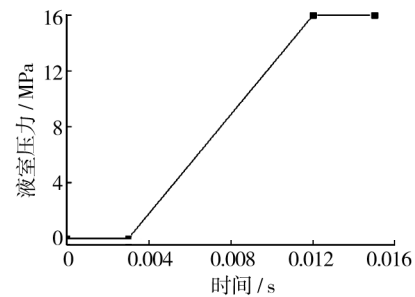


图9 终成形阶段液室压力-时间曲线(方案一)

Fig. 9 Pressure loading vs time curve in final forming (scheme 1)

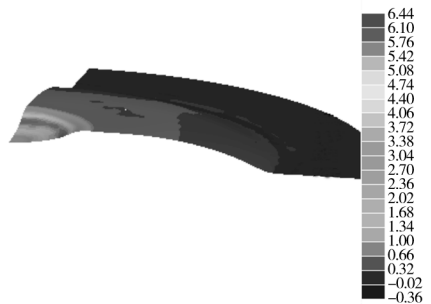


图7 预成形阶段减薄率突变云图(方案一)(%)

Fig. 7 Cloud chart of thinning rate mutation during preforming (scheme 1)

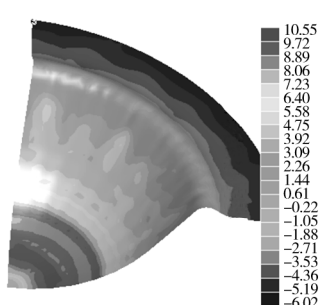


图8 预成形零件减薄率云图(方案一)(%)

Fig. 8 Cloud chart of thinning rate of the preformed part (scheme 1)

该成形方案可以保证零件不发生破裂，但在零件法兰以下30~55 mm处的悬空区，零件具有明显的起皱趋势。

3.2.2 第二种方案

预成形为常规热冲压成形，压边间隙设置为1.25 mm，仿真结果如图12所示，最大减薄率为



图10 零件减薄率分布云图(方案一)(%)

Fig. 10 Cloud chart of thinning rate distribution of the part (scheme 1)

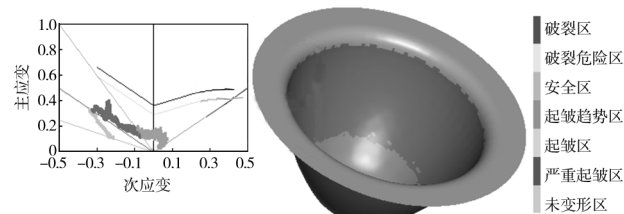


图11 仿真结果 FLD 图(方案一)

Fig. 11 The simulation results of FLD (scheme 1)

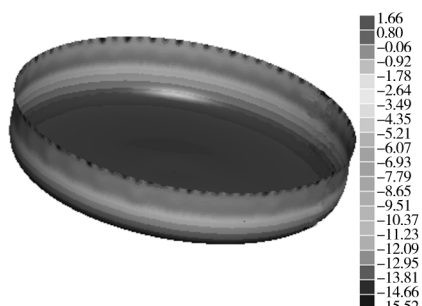


图12 零件减薄率分布云图(方案二)(%)

Fig. 12 Cloud chart of thinning rate distribution (scheme 2)

1.66%, 可知预成形变形量很小, 对整个成形工艺影响不大。

终成形压边间隙为 1.3 mm, 反胀高度设置为 15 mm, 液室压力加载曲线如图 13 所示。零件最大减薄率为 12.1%, 可以保证零件不发生破裂, 零件减薄率分布云图如图 14 所示。从仿真结果 FLD 图(图 15)可知, 在该成形方案下, 成形后零件大部分表面贴膜效果良好, 虽然在零件法兰以下 30~50 mm 处的悬空区, 同样具有起皱趋势, 但并不明显, 可以通过后续整形进行消除。

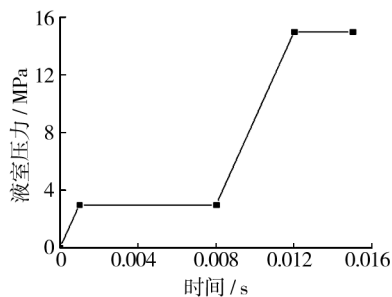


图 13 预成型阶段液室压力-时间曲线(方案二)

Fig. 13 Pressure loading vs time curve during preforming (scheme 2)



图 14 零件减薄率分布云图(方案二)(%)

Fig. 14 Cloud chart of thinning rate distribution of the part (scheme 2)

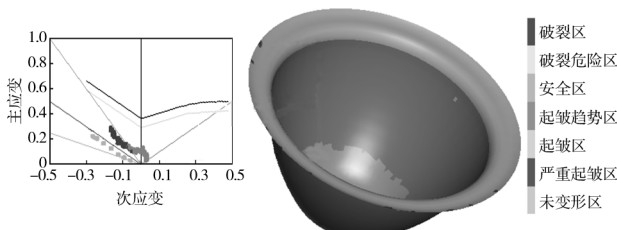


图 15 仿真结果 FLD 图(方案二)

Fig. 15 The simulation results of FLD (scheme 2)

4 结语

1) 对于 2A16 铝合金锥形件, 采用一步充液热成形工艺, 结合仿真分析和实验验证可知, 在凸模行程至 50 mm 处即产生破裂, 无法得到最终零件。

2) 对文中两步成形方案, 由仿真优化结果可知, 2 种方案均可成形出最终零件, 但第 1 种方案易在悬空区产生起皱缺陷。为保证零件成形精度及贴模度, 最终确定第 2 种成形方案用于 2A16 铝合金锥形件的成形。

参考文献:

- [1] COLE G S, SHERMAN A M. Light Weight Materials for Automotive Applications [J]. Materials Characterization, 1995, 35(1):3—9.
- [2] 李涛, 郎利辉, 安冬洋. 复杂薄壁零件板多级充液成形及过程数值模拟[J]. 北京航空航天大学学报, 2007, 33(7):830—832.
LI Tao, LANG Li-hui, AN Dong-yang. Multi Sheet Hydroforming of Complicated Thin Wall Part and Numerical Simulation [J]. Journal of Beijing University of Aeronautics and Astronautics, 2007, 33(7):830—832.
- [3] HARTL C. Research and Advances in Fundamentals and Industrial Applications of Hydroforming [J]. Journal of Materials Processing Technology, 2005, 167(2/3):383—392.
- [4] HO Choi, MUAMMER Koc, NI Jun. A Study on the Analytical Modeling for Warm Hydro-mechanical Deep Drawing of Lightweight Materials [J]. International Journal of Machine Tools and Manufacture, 2007, 47(11):1752—1766.
- [5] 郎利辉, 谢亚苏, 王永铭. 飞机大型复杂双曲度蒙皮充液成形数值模拟及实验研究 [J]. 精密成形工程, 2011, 3(6):112—116.
LANG Li-hui, XIE Ya-su, WANG Yong-ming. Aircraft Large Complex Double Curvature Skin Hydroforming Numerical Simulation and Experiment Research [J]. Journal of Netshape Forming Engineering, 2011, 3 (6): 112—116.
- [6] 陈龙, 张超, 曹婷婷, 等. 高强钢复杂曲面件充液拉深工艺模拟研究 [J]. 精密成形工程, 2012, 4(3):39—42.
CHEN Long, ZHANG Chao, CAO Ting-ting, et al. Simula-

- tion Research of Sheet Hydroforming Process for High Strength Steel Complex Surface Part [J]. Journal of Netshape Forming Engineering, 2012, 4(3): 39—42.
- [7] 郎利辉, 王永铭, 谢亚苏, 等. 某铝合金异形盒形件充液成形坯料形状优化[J]. 精密成形工程, 2013, 5(3): 19—23.
LANG Li-hui, WANG Yong-ming, XIE Ya-su, et al. The Blank Optimization of Aluminum Alloy Irregular Box Sheet Hydroforming Process [J]. Journal of Netshape Forming Engineering, 2013, 5(3): 19—23.
- [8] LANG Li-hui, WANG Zhong-ren, KANG Da-chang, et al. Hydroforming Highlights: Sheet Hydroforming and Tube Hydroforming [J]. Journal of Materials Processing Technology, 2004, 151(1—3): 165—177.
- [9] 唐景林, 张利伟, 聂绍珉. 圆锥形零件充液拉深的数值模拟研究[J]. 燕山大学学报, 1999, 23(3): 209—211.
TANG Jing-lin, ZHANG Li-wei, NIE Shao-min. Numerical Simulation of Hydraulic Counter Pressure Drawing of Conical Part [J]. Journal of Yanshan University, 1999, 23(3): 209—211.
- [10] 赵军, 马瑞, 官英平, 等. 锥形件拉深智能化控制中压边力的控制规律[J]. 材料科学与工艺, 2004, 12(4): 439—445.
ZHAO Jun, MA Rui, GUAN Ying-ping, et al. The Law of BHF During Intelligent Control of Conical Workpiece Deep Drawing [J]. Materials Science and Technology, 2004, 12(4): 439—445.
- [11] 李敏, 周贤宾. 板料成形中悬空区起皱过程的数值模拟[J]. 中国机械工程, 1997, 8(4): 37—39.
LI Min, ZHOU Xian-bin. Numerical Simulation on Wrinkling of Noncontact Region in Sheet Metal Forming [J]. China Mechanical Engineering, 1997, 8(4): 37—39.
- [12] 郎利辉, 丁少行, 徐秋玉, 等. 球形件液压胀形成形方案探究[J]. 精密成形工程, 2014, 6(2): 1—5.
LANG Li-hui, DING Shao-hang, XU Qiu-yu, et al. Process of Hydroforming for Spherical Component [J]. Journal of Netshape Forming Engineering, 2014, 6(2): 1—5.
- [13] ANAND L. Constitutive Equations for the Rate-Dependent Deformation of Metals at Elevated Temperatures [J]. ASME Journal of Engineering Materials and Technology, 1982, 104(13): 12—17.
- [14] 纪良波, 李永志. 参数化技术与数值模拟结合的冲压成形优化[J]. 精密成形工程, 2012, 4(6): 78—81.
JI Liang-bo, LI Yong-zhi. Stamping Optimization by Combining Parameterization Technology and Numerical Simulation [J]. Journal of Netshape Forming Engineering, 2012, 4(6): 78—81.
- [15] 陈中奎, 施法中. 板料冲压成形过程中起皱的数值模拟[J]. 机械工程学报, 2001, 37(1): 24—27.
CHEN Zhong-kui, SHI Fa-zhong. Numerical Simulation of Wrinkle in Sheet Metal Stamping Process [J]. Chinese Journal of Mechanical Engineering, 2001, 37(1): 24—27.

(上接第 67 页)

- WANG Huai-guo, MAO Ping-li. Failure Mode and Fracture Morphology Analysis of Extruded AM30 Magnesium Alloy under High Strain Rate Loading [J]. Special Casting and Nonferrous Alloys, 2013, 33(3): 204—208.
- [6] WATANABE H, ISHIKAWA K. Effect of Texture on High Temperature Deformation Behavior at High Strain Rates in a Mg-3Al-1Zn Alloy [J]. Materials Science and Engineering A, 2009, 523(1—2): 304—311.
- [7] WATANABE H, MUKAI T, KOICHI Ishikawa, et al. Realization of High Strain Rate Super Plasticity at Low Temperatures in aMg-Zn-Zr Alloy [J]. Materials Science and Engineering A, 2001, 307(1—2): 119
- [8] 毛萍莉, 刘正, 王长义, 等. 镁合金高速冲击载荷下的变形行为研究进展 [J]. 材料导报 A, 2012, 26: 95—101.
MAO Ping-li, LIU Zheng, WANG Chang-yi, et al. Review of the Dynamic Deformation Behavior of Magnesium Alloys under High Strain Rates [J]. Journal of materials A, 2012, 26: 95—101.
- [9] ISHIKAWA K, WATANABE H, MUKAI T. High Strain Rate Deformation Behavior of an AZ91 Magnesium Alloy at Elevated Temperature [J]. Materials Letters, 2005, 59: 1511—1515.
- [10] EL-MAGAD, ABOURIDOUANE M. Characterization, Modelling and Simulation of Deformation and Fracture Behavior of the Light-weight Wrought Alloys under High Strain Rate Loading [J]. International Journal of Impact Engineering, 2006, 32: 741—758.